

正員 中部電力 k.k. 大野定利

1. まえがき 従来サージタンクの設計に当っては、数値計算の繁雑さの理由から全負荷急速断および一定負荷の急増についてのサージング高の検討およびTancoの安定条件による安定性の検討がなされる程度であった。

しかしながら、発電機の運転方法は單純ではなく、また水力開発地の枯渇から、より経済設計を要求されるようになつたため複雑なサージタンクが考えられるようになつた。更に電力の安定供給、負の向上の目的から、近年AFCC運転の発電所が増大し、サージタンクの設計についてもこれらの要求を満たすやく、多方面に亘る検討が必要となり、各方面でこれら<sup>★注</sup>の研究がなされていゝ。

このため当社では、数値計算を簡単に行ひ、多方面から検討を容易に行うための一方法として、アナログ計算機による数値計算を多く採用していゝため、これについて紹介し、更に計算結果得られた運動規則の一例を示す。

2. 一般的なサージタンク水理系のアナログ計算 複雑なサージタンク水理系の一例として、途中に渓流取水に伴う補助制水口サージタンクを有し、また作業用斜坑を将来の保守検査用に残し、補助サージタンクの働きを期待する水理系を考へ、主タンクとしては減衰性のよい差動型サージタンクを有する場合、すなわち図-1の如き水理系を考へる。

図示の如く記号を用ひ、それぞれ矢印方向を①とすれば、流木の運動方程式および連続方程式は下記の如くあらわされる。

$$\left. \begin{aligned} & \frac{L_1}{g f_1} \cdot \frac{dQ_1}{dt} + \alpha_1 Q_1 |Q_1| = -H_{S1} \\ & Q_1 = Q_2 + Q_3 \end{aligned} \right\} \quad \dots \dots \dots \quad (1)$$

ここで  $\alpha_1$ : 漂木路損失係数

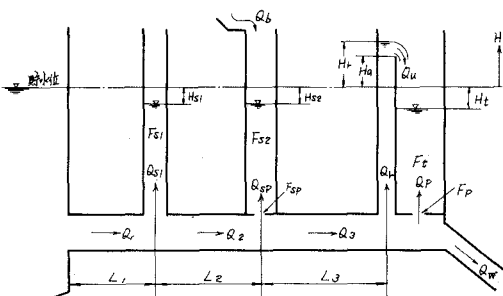
$$\left. \begin{aligned} & \frac{L_2}{g f_2} \cdot \frac{dQ_2}{dt} + \alpha_2 Q_2 |Q_2| = -H_{S2} - H_B + H_{S1} \\ & Q_2 = Q_3 + Q_{S2} \\ & H_B = \frac{1}{2g C_{Sp}^2 F_{Sp}^2} \cdot Q_{Sp} |Q_{Sp}| = \frac{\beta}{F_{Sp}^2} Q_{Sp} |Q_{Sp}| \end{aligned} \right\} \quad \dots \dots \dots \quad (2)$$

ここで  $\beta$ : 制水口損失係数 =  $\frac{1}{2g C_{Sp}^2}$

$\sqrt{A_2}$  補助制水口タンク～主タンク間

$$\left. \frac{L_3}{g f_3} \cdot \frac{dQ_3}{dt} + \alpha_3 Q_3 |Q_3| = -H_P + H_B + H_{S2} \right\}$$

図-1 導水路複式サージタンク水理系  
(单衡 - 制水(渓流取水) - 差衡)



$$\left. \begin{aligned} Q_3 &= Q_w + Q_r + Q_p \\ Q_p &= \pm C_p F_p \sqrt{2g} |H_r - H_t|^{\frac{1}{2}} = \pm \gamma |H_r - H_t|^{\frac{1}{2}} \\ \gamma &= C_p F_p \sqrt{2g} \end{aligned} \right\} \quad (3)$$

一方各セグメント内の水流の連続条件から、

$$\left. \begin{aligned} F_{s1} \frac{dH_{s1}}{dt} &= Q_{s1}, \quad F_{s2} \frac{dH_{s2}}{dt} = Q_{sp} + Q_b, \quad F_r \frac{dH_r}{dt} = Q_r - Q_u, \quad F_t \frac{dH_t}{dt} = Q_p + Q_u \\ Q_u &= \pm CB (H_r - H_a)^{\frac{1}{2}} = \pm m |H_r - H_a|^{\frac{1}{2}} \quad \text{完全越流} \\ Q_u &= \pm CB |H_r - H_t|^{\frac{1}{2}} = \pm m |H_r - H_t|^{\frac{1}{2}} \quad \text{不完全越流} \end{aligned} \right\} \quad (4)$$

$\gamma = C$ : 越流係数,  $B$ : ライザー越流長,  $m = CB$

式(1)～(4)について初期定常状態の値に添字*i*を、初期値からの変化分 $= \Delta$ を付せば、

$$\left. \begin{aligned} -H_{s1i} &= \frac{\alpha_1}{f_1^2} Q_{1i} |Q_{1i}|, \quad -H_{s2i} = \frac{\alpha_2}{f_2^2} Q_{2i} |Q_{2i}| + \frac{\beta}{F_{sp}} (-Q_{bi}) |Q_{bi}| + \frac{\alpha_1}{f_1^2} Q_{1i} |Q_{1i}| \\ -H_{ri} &= -H_{ti} = \frac{\alpha_3}{f_3^2} Q_{3i} |Q_{3i}| + \frac{\alpha_2}{f_2^2} Q_{2i} |Q_{2i}| + \frac{\alpha_1}{f_1^2} Q_{1i} |Q_{1i}| \end{aligned} \right\} \quad (5)$$

$$Q_{s1i} = Q_{1i} = Q_{pi} = Q_{ui} = 0, \quad Q_{s2i} = -Q_{bi}, \quad Q_{1i} = Q_{2i}$$

$$Q_{2i} = Q_{3i} - Q_{bi} = Q_{wi} - Q_{bi}, \quad Q_{3i} = Q_{2i} + Q_{bi} = Q_{wi}$$

式(5)の関係となり、これを式(1)～(4)に代入すれば

$$\left. \begin{aligned} \frac{L_1}{g f_1} \frac{d(\Delta Q_1)}{dt} + \frac{\alpha_1}{f_1^2} \{ (Q_{1i} + \Delta Q_1) |Q_{1i} + \Delta Q_1| - Q_{1i} |Q_{1i}| \} &= -\Delta H_{s1} \\ \frac{L_2}{g f_2} \frac{d(\Delta Q_2)}{dt} + \frac{\alpha_2}{f_2^2} \{ (Q_{2i} + \Delta Q_2) |Q_{2i} + \Delta Q_2| - Q_{2i} |Q_{2i}| \} \\ + \frac{\beta}{F_{sp}^2} \{ (-Q_{bi} + \Delta Q_{sp}) |Q_{bi} + \Delta Q_{sp}| - (-Q_{bi}) |Q_{bi}| \} &= -(\Delta H_{s2} - \Delta H_{s1}) \\ \frac{L_3}{g f_3} \frac{d(\Delta Q_3)}{dt} + \frac{\alpha_3}{f_3^2} \{ (Q_{3i} + \Delta Q_3) |Q_{3i} + \Delta Q_3| - Q_{3i} |Q_{3i}| \} \\ - \frac{\beta}{F_{sp}^2} \{ (-Q_{bi} + \Delta Q_{sp}) |Q_{bi} + \Delta Q_{sp}| - (-Q_{bi}) |Q_{bi}| \} &= -(\Delta H_r - \Delta H_{s2}) \end{aligned} \right\} \quad (6)$$

$$\Delta Q_1 = \Delta Q_{s1} + \Delta Q_2$$

$$\Delta Q_2 = \Delta Q_{s2} + \Delta Q_3$$

$$\Delta Q_3 = \Delta Q_r + \Delta Q_w + \Delta Q_p$$

$$F_{s1} \frac{d(\Delta H_{s1})}{dt} = \Delta Q_{s1}, \quad F_{s2} \frac{d(\Delta H_{s2})}{dt} = \Delta Q_{s2} + \Delta Q_b, \quad F_r \frac{d(\Delta H_r)}{dt} = \Delta Q_r - \Delta Q_u$$

$$F_t \frac{d(\Delta H_t)}{dt} = \Delta Q_p + \Delta Q_u, \quad \Delta Q_p = \pm \gamma |\Delta H_r - \Delta H_t|^{\frac{1}{2}}$$

$$\Delta Q_u = \pm m |\Delta H_r - \Delta H_a|^{\frac{1}{2}} \quad \text{完全越流} \quad \pm m |\Delta H_r - \Delta H_t|^{\frac{1}{2}} \quad \text{不完全越流}$$

$$\therefore \Delta H_{ai} = H_a - H_{ti} = H_a - H_{ri}$$

となり、流量の基準値を  $Q_0$ 、水位の基準値を  $H_0$ 、 $H_{ac} \leq L$ 、変化量/基準値、初期値/基準値を、小文字で書きあらわせば、式(6)は

$$T_{v1} \frac{d\delta_1}{dt} + K_{\alpha 1} \left\{ (\delta_{1i} + \delta_1) |\delta_{1i} + \delta_1| - \delta_{1i} |\delta_{1i}| \right\} = - h_{s1}$$

$$T_{v2} \frac{d\delta_2}{dt} + K_{\alpha 2} \left\{ (\delta_{2i} + \delta_2) |\delta_{2i} + \delta_2| - \delta_{2i} |\delta_{2i}| \right\}$$

$$+ K_{\alpha 3} \left\{ (-\delta_{bi} + \delta_{sp}) |\delta_{bi} + \delta_{sp}| - (-\delta_{bi}) |\delta_{bi}| \right\} = - (h_{s2} - h_{s1})$$

$$T_{v3} \frac{d\delta_3}{dt} + K_{\alpha 3} \left\{ (\delta_{3i} + \delta_3) |\delta_{3i} + \delta_3| - \delta_{3i} |\delta_{3i}| \right\}$$

$$- K_{\beta} \left\{ (-\delta_{bi} + \delta_{sp}) |\delta_{bi} + \delta_{sp}| - (-\delta_{bi}) |\delta_{bi}| \right\} = - (h_r - h_{s2})$$

……(7)

$$\delta_1 = \delta_{s1} + \delta_2 \quad \delta_2 = \delta_{s2} + \delta_3 \quad \delta_3 = \delta_p + \delta_r + \delta_w$$

$$T_{s1} \frac{dh_{s1}}{dt} = \delta_{s1}, \quad T_{s2} \frac{dh_{s2}}{dt} = \delta_{s2} + \delta_b \quad T_r \frac{dh_r}{dt} = \delta_r - \delta_u, \quad T_t \frac{dh_t}{dt} = \delta_p + \delta_u$$

$$\delta_p = \pm K_p |h_r - h_t|^{\frac{1}{2}} \quad H_r > H_t \text{ のとき } \oplus$$

$$\begin{aligned} \delta_u &= K_u |h_r - h_{ai}|^{\frac{3}{2}} & H_r > H_a & H_t < H_a \\ &- K_u |h_t - h_{ai}|^{\frac{3}{2}} & H_t > H_a & H_r < H_a \end{aligned} \} \text{完全越流}$$

$$\begin{aligned} &K_u |h_r - h_t|^{\frac{3}{2}} & H_r > H_t & H_t > H_a \\ &- K_u |h_t - h_r|^{\frac{3}{2}} & H_t > H_r & H_r > H_a \end{aligned} \} \text{不完全越流}$$

$$0 \quad H_t < H_a \quad H_r < H_a$$

但し  $T_{v1} = \frac{L_1}{g f_1} \cdot \frac{Q_0}{H_0}$ ,  $T_{v2} = \frac{L_2}{g f_2} \cdot \frac{Q_0}{H_0}$ ,  $T_{v3} = \frac{L_3}{g f_3} \cdot \frac{Q_0}{H_0}$ ,  $T_{s1} = F_{s1} \frac{H_0}{Q_0}$ ,  $T_{s2} = F_{s2} \frac{H_0}{Q_0}$

$$T_r = F_r \frac{H_0}{Q_0}, \quad T_t = F_t \frac{H_0}{Q_0}, \quad K_{\alpha 1} = \frac{\alpha_1}{f_1^2} \cdot \frac{Q_0^2}{H_0}, \quad K_{\alpha 2} = \frac{\alpha_2}{f_2^2} \cdot \frac{Q_0^2}{H_0}, \quad K_{\alpha 3} = \frac{\alpha_3}{f_3^2} \cdot \frac{Q_0^2}{H_0}$$

$$K_{\beta} = \frac{3}{F_{sp}} \cdot \frac{Q_0^2}{H_0}, \quad K_p = \sqrt{\frac{H_0}{Q_0}}, \quad K_u = m \frac{H_{uo}^{\frac{3}{2}}}{Q_0}, \quad h_{ai} = \frac{H_a - H_{ri}}{H_0}$$

となる。(6)式をラプラス変換し、伝達関数ならびに伝達要素を求め、ブロック線図によりあらわせば、図-2の通りとなり、アナログ計算機の各演算要素をブロック線図により組合わせて計算する。

この場合、粗度係数、ポートの流量係数等は各種変化させて安全側をとらねばならないが、 $K_{\alpha}$ 等のゲインを変えれば簡単に計算出来るし、入力の木車流量の変化分  $\delta_w$  を変化させることにより、負荷急遮断、負荷急増はもとより、負荷漸増、負荷遮断後急増あるいは、正弦流量変化等、各要求運転條件に従って容易に計算しうる。

### 3. 運転規制の一例

当社で建設中の地下発電所で放水路に作業用斜坑を利用した単動サイジタンクを有する水理系について、必要な運転規制を設計に折込み、経済的なサイジタンクのあり方について検討を行つた一例を

のべる。

本放水路は常時開水路として働き、洪水時河川水位が上昇して放水路出口天端を越える場合、圧力トンネルとなり、サージタンクが有効となる。

この場合までは、河川の出水状況の過去のデータから各年洪水量を推定し、この洪水量に対する放水路出口河川水位を過去の実績、あるいは計算によって関係づける。

次に各年洪水量に応じた放水路出口水位に対する、それぞれ前述のアナログ計算機を利用して計算方法によって、各トンネル所要強度（負荷遮断について計算）および運転規制を設ける。

最後に各年洪水量に応じた所要強度に対する工事費と運転規制による年間損失電力料および規制のための工事費を計算し、工事費と損失電力料との比較によって経済的に有利な方法をとる。

この様にして比較検討を行った結果、設けた運転規制について、各水車使用水量（左負荷以下に対しては計算省略）に応ずる規制放水路出口水位およびゲバナーの規制状態を、図-3の如く定めた。

なお、サージタンクの安定性の検討については、サージタンクが  $100 \text{ m}^3$  の條件に満たない漸面積のため、電研水路木理研究室、是枝室長に依頼して、ゲバナー、ガイド、ゲイン等水力機器の動作を考慮し、水車起動時および併列運転時にについて、アナログ計算を行つて、その安定性を確かめたので付記する。

★是枝室：複雑なサージ系を有する発電所用C形性能解析実用計算書会  
★是枝室：烟草園ニ発電所サージタンクの水位変動特性と

AFC運転に関する水理学的検討 電研報告5-705

第

図-2 放水路模式サージタブロット線図

(单衝-制水口(渓流取水)-差衝)

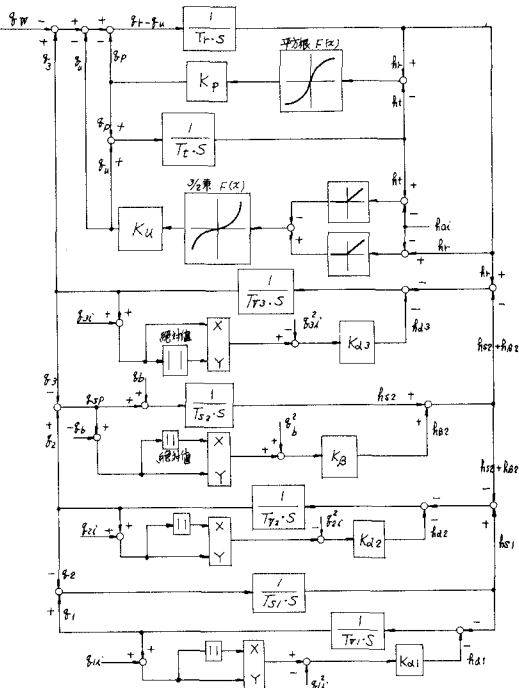


図-3 放水路出口水位と水車使用水量による運転規制

